

III-40 射流合流水路の特性について

東京大學 工學部 土木教室
正員 鳩祐之

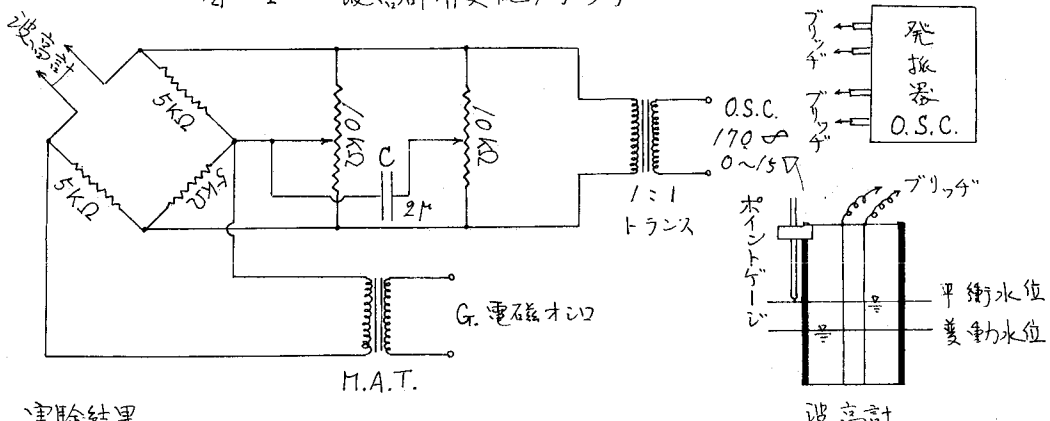
I 実験装置 射流状態で流れの主水路に、これと直角に副水路がやはり射流状態で合流するとき、合流点附近に生ずる擾乱現象を対称にして実験を行った。

主水路は全長 4.4 m, 中 60 cm で、上流端より 2.4 m の位置に合流点があり、これより上流側では木床、下流側ではガラス床となっている。流れは水槽よりの自然流下式とし、流量および勾配を変化させることにより Froude 数を 1 ～ 3 の範囲で調節する。

副水路は全長 90 cm, 中 15.5 cm で、流れは高水槽よりサイフォンで導き、かものは射流より噴出させ流速を変化により Froude 数を 1 ～ 2.5 の範囲で調節する。

合流点附近の水理現象は甚だ複雑であり、かつ水面の変動が激しいので、衝撃波の位置および形状は実験にて測定を行った。さらに水深は絶対値や変動量が小さいので、交流ブリッジ方式に特別に設計した電気的波高計により測定した。

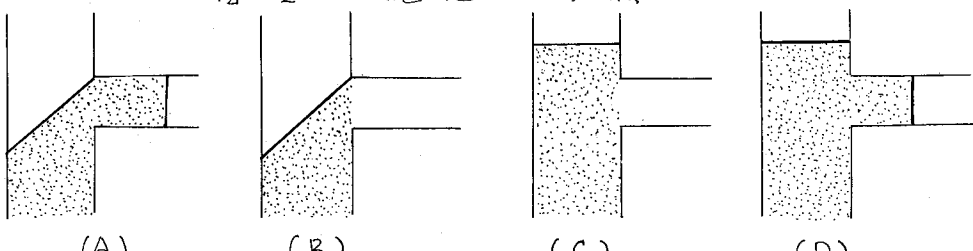
図-1 波高計用交換ブリッジ



II 実験結果

1) 流況の分類 主水路の勾配や流量、あるいは副水路の流量を適当に変化させ組合せると、大別して図-2 に示す 4 通りの流況が得られる。

図-2 流況の分類



水流内に横切る実線は衝撃波の位置および形状を示すものであつて、通常 $1/30$ 程度の勾配では副水路の流量が大きくなるにつれて (A), (B) および (C) へと移行する。また $1/10$ 程度の勾配になると (B) が現われる場合が少く (A), (D) および (C) へと移行する。

この結果を圖示したのが図-3 および図-4 であり；前者は勾配 $1/30$ 、後者は $1/70$ のものである。

但し

Q_M --- 主水路の流量

Q_S --- 副水路の流量

図中の丸印は各実験において起つた流況を示す。

○ ----- A
● ----- B
× ----- C
◎ ----- D

ii) マツハ角 β

合流による擾乱があまり生ず

る衝撃波角 β は水路の勾配や主
および副水路の Froude 数 F_M およ
び F_S によつて支配される。

そこで各勾配の場合につき F_M と
Parameter として β と $\frac{F_S}{F_M}$ との関
係を図示すると、図-5 および

図-6 のように比較的規則正しい関係のある事が知られた。これらの関係から副水路よ
りの流入の代りに、これと等価な側壁の屈折角を見出すことができる。

またこれらより

図-5

$I = \frac{1}{30}$

より $\beta = 90^\circ$ とな

る各実験(A) と(B)

は(C) と(D) ま

たは(D) と平行す

る限界値を有する

ものと考えられる。

主水路内の水面

状態は、準純に側

壁の変化のみによ

る衝撃波の場合と

異なり非常に複雑

で、一般的な特性

を抽出するまでに

至らなかつた。

図-3

$$I = \frac{1}{30}$$

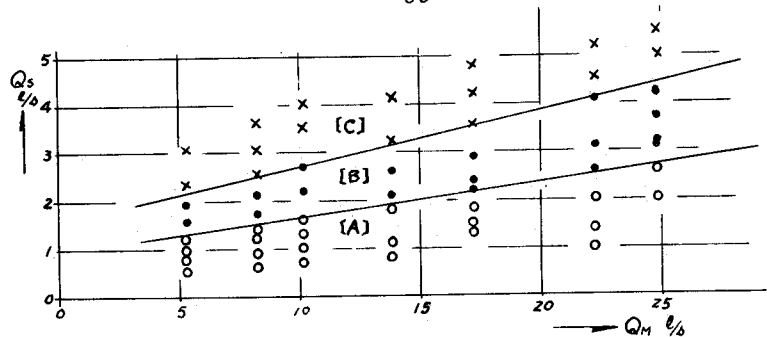


図-4

$$I = \frac{1}{70}$$

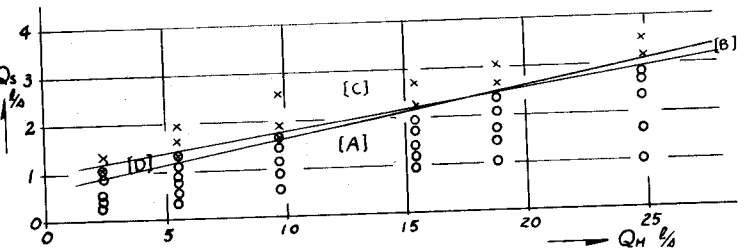


図-5

$I = \frac{1}{30}$

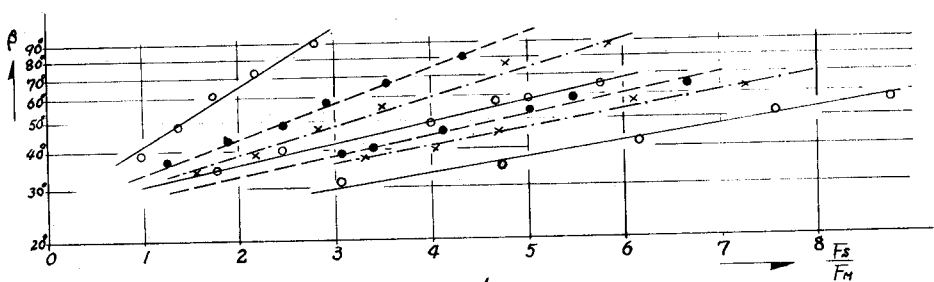


図-6

$I = \frac{1}{70}$

